

E P S の荷重分散特性

発泡スチロール土木工法開発機構 正会員○ 佐野 修
 北海道開発局開発土木研究所 正会員 西川純一
 北海道開発局開発土木研究所 正会員 松田泰明
 発泡スチロール土木工法開発機構 正会員 阿部 正

1. はじめに

軽量盛土材として発泡スチロール（以後E P Sと呼ぶ）を道路に使用する場合には、荷重分散特性を知る必要がある。舗装体およびコンクリート床版を含めたE P S材内での荷重分散性能についていくつか報告されているが^{1)、2)}、E P S単独の荷重分散特性については明確になっていない。このE P Sの荷重分散特性を知ることによって、大きな交通荷重の作用する上側に高強度E P S、下側には低強度E P Sを配した合理的な設計が可能となる。このような観点から、E P S単体内部の荷重分散特性を実測したので、その結果について報告する。

2. 実験方法

実験概要を図1に示す。試験には、寸法が100mm×1000mm×1000mmで強度の異なるE P S 2種類を用いた。各E P Sの材料特性を表1に示す。実験は、DX-29およびD-20を4枚重ねた2ケースと、上にDX-29、下にD-20を各2枚重ねた複合の1ケースについて実験した。

載荷には直径200mmの鋼製治具を用いた。載荷は、各ケースのE P Sの弾性限界内とそれを超える応力で実施した。また、E P Sの下面には、直径95mmの土圧計5個を150mmの中心間隔で設置した。主要機材の種類を表2に示す。

なお、実験に先立ち、同一ケースでの再現性、クリープ特性を確認した。

表2 機材種類

機材	型式等
土圧計	BE-500GM、最大0.5kgf/cm ²
ロードセル	LC-2TE、最大2tf
変位計	DT-50A
データロガ	UCAM-10A

図1 実験装置概要 (mm)

表1 E P S 材料特性

材料名	単位体積重量 kgf/m ³	5%圧縮強度 kgf/m ²	弾性限界圧縮強度 kgf/m ²
D-20	20	1.0	0.5
DX-29	29	2.8	1.4

3. 実験結果および考察

載荷結果を図2、3に示す。

- (1) E P S下面での応力は、載荷板直下が最大で、載荷位置から離れるに従って小さくなる分布を示した。
- (2) 載荷応力とE P S下面の応力の関係は、今回の荷重レベルでは、E P Sの種別、あるいは弾性領域と塑性領域の違いにかかわらず、ほぼ比例関係であった。これは載荷板直下でも周辺部でも同じ傾向であった。
- (3) 図3より、D-20単体の積層と、上側にDX-29を2枚、下側にD-20を2枚積層した複合体を比較すると、この実験条件ではその荷重分散特性に明確な差はみられなかつた。
- (4) 載荷板直下における載荷応力と、E P S下面での応力から計算した荷重低減率（載荷板40cm直下の応力／載荷応力×100%）を表3に示す。今回の実験条件における載荷板幅と材料厚さの比（0.5）では、材料の種別による明確な荷重低減の差はみられず、その値は5～10%程度であった。

4. おわりに

近年、交通荷重が年々増大化する傾向にあり、E P Sを用いた軽量盛土工法を施工する際、高強度E P Sと低強度E P Sを組み合わせた、いわゆるハイブリッド構造に対する現場の要望は大きい。本研究では、今後、周囲拘束状態などを考慮した実物大での実験を行い、本工法の合理的な設計法の提案をしていきたい。

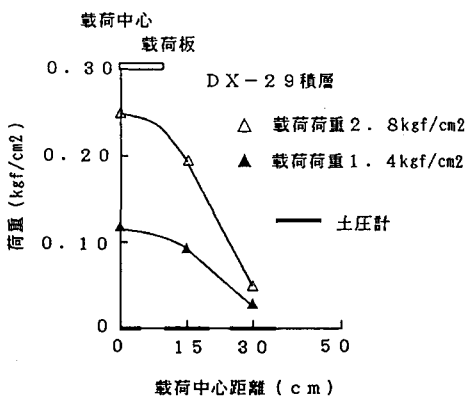


図2 DX-29の土圧計測定結果

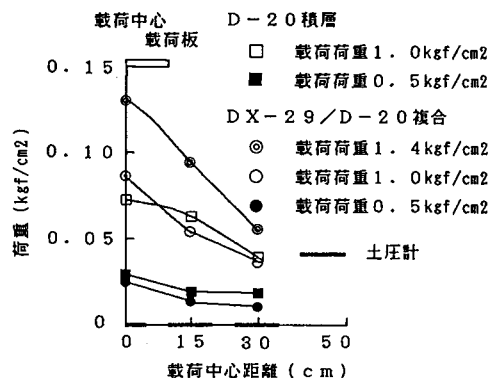


図3 D-20、複合の土圧計測定結果

表3 荷重低減率 (%)

ケース	荷重 (kgf/cm²)			
	0.5	1.0	1.4	2.8
DX-29単体			8.1	9.0
D-20単体	5.6	7.2		
複合	4.8	8.6	9.2	

- 参考文献：1) 三原、松田、西川：夕張市登川におけるE P S工法の長期挙動観測と載荷試験結果、第36回（平成4年度）北海道開発局技術研究発表会講演概要集
 2) 谷口、服部：国道1号沼津バイパスのE P S工法、土木技術、43卷10号